

**<sup>64</sup>Ni(<sup>56</sup>Fe,2p2n $\gamma$ ) 1997Se04**

Type	Author	History Citation	Literature Cutoff Date
Full Evaluation	Jean Blachot	NDS 111, 717 (2010)	1-Dec-2009

Includes <sup>90</sup>Zr(<sup>31</sup>P,3p2n $\gamma$ ); taken from XUNDL.

<sup>64</sup>Ni(<sup>56</sup>Fe,2p2n $\gamma$ ) E=236 MeV. Measured E $\gamma$ , I $\gamma$ ,  $\gamma\gamma$ ,  $\gamma\gamma(\theta)$ (DCO) using GAMMASPHERE with 35 HPGe detectors. Also <sup>90</sup>Zr(<sup>31</sup>P,3p2n $\gamma$ ) at E=150 MeV. Parts of the level scheme from (<sup>56</sup>Fe,2p2n $\gamma$ ) reaction were verified via <sup>90</sup>Zr(<sup>31</sup>P,3p2n $\gamma$ ) reaction at E=150 using EUROGAM II array with 54 HPGe detectors.

<sup>116</sup>Te Levels

E(level) <sup>†</sup>	J $\pi$ <sup>‡</sup>	E(level) <sup>†</sup>	J $\pi$ <sup>‡</sup>	E(level) <sup>†</sup>	J $\pi$ <sup>‡</sup>	E(level) <sup>†</sup>	J $\pi$ <sup>‡</sup>
0	0 <sup>+</sup>	4585.0 <sup>#</sup> 5	(12 <sup>+</sup> )	7091.8 <sup>a</sup> 5	19 <sup>-</sup>	10303.6 <sup>#</sup> 17	(24 <sup>+</sup> )
680.30 <sup>&amp;</sup> 20	2 <sup>+</sup>	4702.1 <sup>c</sup> 5	12 <sup>-</sup>	7160.4 <sup>#</sup> 17	(18 <sup>+</sup> )	10324.7 <sup>d</sup> 14	(24 <sup>-</sup> )
1358.9 <sup>&amp;</sup> 3	4 <sup>+</sup>	4916.8 <sup>b</sup> 5	(13 <sup>-</sup> )	7173.7 <sup>d</sup> 10	(18 <sup>-</sup> )	10949.6 <sup>@</sup> 10	(25)
2001.5 <sup>&amp;</sup> 3	6 <sup>+</sup>	4992.4 <sup>@</sup> 5	13	7307.4 <sup>c</sup> 7	(18 <sup>-</sup> )	11129.8 <sup>a</sup> 6	27 <sup>-</sup>
2772.0 <sup>&amp;</sup> 4	8 <sup>+</sup>	5107.9 <sup>&amp;</sup> 5	14 <sup>+</sup>	7642.0 <sup>@</sup> 5	(19)	11494.4 <sup>#</sup> 18	(26 <sup>+</sup> )
3026.2 <sup>b</sup> 4	7 <sup>-</sup>	5195.5 <sup>c</sup> 5	14 <sup>-</sup>	7642.1 <sup>&amp;</sup> 6	20 <sup>+</sup>	11538.8 <sup>d</sup> 15	(26 <sup>-</sup> )
3173.5 <sup>c</sup> 4	8 <sup>-</sup>	5236.3 <sup>d</sup> 5	(14 <sup>-</sup> )	7729.1 <sup>b</sup> 6	(19 <sup>-</sup> )	12714.9 <sup>#</sup> 18	(28 <sup>+</sup> )
3428.0 <sup>b</sup> 4	9 <sup>-</sup>	5472.6 <sup>#</sup> 6	(14 <sup>+</sup> )	8119.6 <sup>a</sup> 5	21 <sup>-</sup>	12841.7 <sup>d</sup> 17	(28 <sup>-</sup> )
3573.5 <sup>&amp;</sup> 4	10 <sup>+</sup>	5618.8 <sup>&amp;</sup> 5	16 <sup>+</sup>	8123.3 <sup>#</sup> 17	(20 <sup>+</sup> )	13988.4 <sup>#</sup> 19	(30 <sup>+</sup> )
3682.8 <sup>#</sup> 4	10 <sup>+</sup>	5721.5 <sup>b</sup> 5	(15 <sup>-</sup> )	8173.2 <sup>d</sup> 11	(20 <sup>-</sup> )	14228.1 <sup>d</sup> 18	(30 <sup>-</sup> )
3697.0 4	10 <sup>+</sup>	5772.8 <sup>@</sup> 5	15	8667.6 <sup>a</sup> 6	22 <sup>-</sup>	15335.8 <sup>#</sup> 20	(32 <sup>+</sup> )
3745.0 <sup>@</sup> 4	9	6103.4 5	(16 <sup>+</sup> )	8683.2 <sup>@</sup> 7	(21)	15671.7 <sup>d</sup> 3	(32 <sup>-</sup> )
3751.9 <sup>d</sup> 4	10 <sup>-</sup>	6128.8 <sup>c</sup> 5	(16 <sup>-</sup> )	8995.5 6	23 <sup>-</sup>	16743.6 <sup>#</sup> 21	(34 <sup>+</sup> )
3991.8 <sup>c</sup> 4	10 <sup>-</sup>	6141.9 <sup>d</sup> 6	(16 <sup>-</sup> )	9171.9 <sup>#</sup> 17	(22 <sup>+</sup> )	18231.2 <sup>#</sup> 22	(36 <sup>+</sup> )
4226.0 <sup>b</sup> 4	(11 <sup>-</sup> )	6274.4 <sup>#</sup> 7	(16 <sup>+</sup> )	9204.9 <sup>d</sup> 13	(22 <sup>-</sup> )	19871 <sup>#</sup> 3	(38 <sup>+</sup> )
4326.3 <sup>@</sup> 4	11	6651.9 <sup>b</sup> 5	(17 <sup>-</sup> )	9756.4 <sup>a</sup> 6	24 <sup>-</sup>	21702 <sup>#</sup> 3	(40 <sup>+</sup> )
4337.6 <sup>&amp;</sup> 4	12 <sup>+</sup>	6659.3 <sup>@</sup> 5	(17)	9775.6 <sup>@</sup> 9	(23)	23721 <sup>#</sup> 4	(42 <sup>+</sup> )
4436.6 <sup>d</sup> 5	(12 <sup>-</sup> )	6673.2 <sup>&amp;</sup> 5	18 <sup>+</sup>	10058.6 <sup>a</sup> 6	25 <sup>-</sup>		

<sup>†</sup> From least-squares fit (by compiler) to E $\gamma$ 's.

<sup>‡</sup> Based on  $\gamma\gamma(\theta)$ (DCO) data, linear polarization data and band assignments (1997Se04).

# Band(A): Band #1, based on 10<sup>+</sup>. Proposed configuration= $\pi[(g_{7/2},d_{5/2})^2(g_{9/2})^{-2}(h_{11/2})^2] \nu[(g_{7/2},d_{5/2})^{10}(h_{11/2})^4]$ .

@ Band(B): Band #2, based on 9.

& Band(C): Band #3, g.s. band.

<sup>a</sup> Band(D): Band #4, based on 19<sup>-</sup>.

<sup>b</sup> Band(E): Band #5, based on 7<sup>-</sup>.

<sup>c</sup> Band(F): Band #6, based on 8<sup>-</sup>.

<sup>d</sup> Band(G): Band #7, based on 10<sup>-</sup>.

$\gamma(^{116}\text{Te})$

E $\gamma$	I $\gamma$	E <sub>i</sub> (level)	J $\pi$ <sub>i</sub>	E <sub>f</sub>	J $\pi$ <sub>f</sub>	Mult.	$\delta$	Comments
147.3 2	12.1 4	3173.5	8 <sup>-</sup>	3026.2	7 <sup>-</sup>	M1+E2	+0.078 20	Mult.: DCO=0.89 32.
254.7 2	2.1 1	3428.0	9 <sup>-</sup>	3173.5	8 <sup>-</sup>	M1+E2	+0.19 6	Mult.: DCO=0.61 27, P(lin pol)=-0.13 17.
278.6 2	5.8 2	5195.5	14 <sup>-</sup>	4916.8	(13 <sup>-</sup> )	(M1,E2)		
302.2 2	8.9 3	10058.6	25 <sup>-</sup>	9756.4	24 <sup>-</sup>	M1+E2	+0.14 5	Mult.: DCO=0.59 3, P(lin pol)=+0.08 6.
418.7 2	18.8 6	7091.8	19 <sup>-</sup>	6673.2	18 <sup>+</sup>	E1(+M2)	-0.025 26	Mult.: DCO=0.49 2, P(lin pol)=+0.24 8.

Continued on next page (footnotes at end of table)

$^{64}\text{Ni}(^{56}\text{Fe},2p2n\gamma)$  **1997Se04 (continued)** $\gamma(^{116}\text{Te})$  (continued)

$E_\gamma$	$I_\gamma$	$E_i(\text{level})$	$J_i^\pi$	$E_f$	$J_f^\pi$	Mult.	$\delta$	Comments
477.5 2	2.1 1	8119.6	21 <sup>-</sup>	7642.1	20 <sup>+</sup>	E1		
493.3 2	5.5 2	5195.5	14 <sup>-</sup>	4702.1	12 <sup>-</sup>	E2		Mult.: DCO=0.97 17, P(lin pol)=0.57 10.
511.0 2	45.0 14	5618.8	16 <sup>+</sup>	5107.9	14 <sup>+</sup>	E2		Mult.: DCO=1.00 3, P(lin pol)=0.31 4.
525.8 2	2.0 2	5721.5	(15 <sup>-</sup> )	5195.5	14 <sup>-</sup>	(M1,E2)		
547.9 2	9.7 3	8667.6	22 <sup>-</sup>	8119.6	21 <sup>-</sup>	M1(+E2)	-0.035 50	Mult.: DCO=0.43 2, P(lin pol)=-0.06 6.
578.5 2	2.8 2	3751.9	10 <sup>-</sup>	3173.5	8 <sup>-</sup>	E2		Mult.: DCO=0.97 17.
581.5 2	7.7 3	4326.3	11	3745.0	9	E2		Mult.: DCO=1.02 13.
640.7 2	6.1 2	4337.6	12 <sup>+</sup>	3697.0	10 <sup>+</sup>	E2		Mult.: DCO=0.98 22.
642.6 2	93 3	2001.5	6 <sup>+</sup>	1358.9	4 <sup>+</sup>	E2		Mult.: DCO=0.99 2, P(lin pol)=+0.37 4.
656.4 2	7.0 3	3428.0	9 <sup>-</sup>	2772.0	8 <sup>+</sup>	E1(+M2)	0.00 3	Mult.: DCO=0.54 6, P(lin pol)=+0.25 8.
666.0 2	6.1 3	4992.4	13	4326.3	11	E2		Mult.: DCO=0.66 9.
678.6 2	95 3	1358.9	4 <sup>+</sup>	680.30	2 <sup>+</sup>	E2		Mult.: P(lin pol)=+0.27 3 for 680.3+678.6. DCO=1.0 from systematics.
680.3 2	100.0 10	680.30	2 <sup>+</sup>	0	0 <sup>+</sup>	E2		Mult.: P(lin pol)=+0.27 3 for 680.3+678.6. DCO=1.0 from systematics.
684.7 2	2.7 4	4436.6	(12 <sup>-</sup> )	3751.9	10 <sup>-</sup>	(E2)		
690.9 2	7.2 3	4916.8	(13 <sup>-</sup> )	4226.0	(11 <sup>-</sup> )	E2		Mult.: DCO=0.77 14, P(lin pol)=0.39 11.
710.2 2	8.0 3	4702.1	12 <sup>-</sup>	3991.8	10 <sup>-</sup>	E2		Mult.: DCO=0.89 13, P(lin pol)=0.51 10.
752.6 2	2.3 2	4326.3	11	3573.5	10 <sup>+</sup>			Mult.: DCO=0.68 18.
761.0 2	1.9 1	9756.4	24 <sup>-</sup>	8995.5	23 <sup>-</sup>	M1,E2		
764.2 2	40.0 13	4337.6	12 <sup>+</sup>	3573.5	10 <sup>+</sup>	E2		Mult.: DCO=0.95 3, P(lin pol)=0.35 5.
770.3 2	44.6 14	5107.9	14 <sup>+</sup>	4337.6	12 <sup>+</sup>	E2		Mult.: DCO=1.00 3, P(lin pol)=0.34 4.
770.4 2	76.7 24	2772.0	8 <sup>+</sup>	2001.5	6 <sup>+</sup>	E2		Mult.: DCO=1.00 3, P(lin pol)=+0.34 4.
780.3 2	6.6 3	5772.8	15	4992.4	13	E2		Mult.: DCO=0.83 6.
798.0 2	8.4 4	4226.0	(11 <sup>-</sup> )	3428.0	9 <sup>-</sup>	(E2)		
799.7 2	2.5 4	5236.3	(14 <sup>-</sup> )	4436.6	(12 <sup>-</sup> )	(E2)		
801.3 2	51.3 16	3573.5	10 <sup>+</sup>	2772.0	8 <sup>+</sup>	E2		Mult.: DCO=0.95 5, P(lin pol)=+0.41 5.
801.8 3	5.3 10	6274.4	(16 <sup>+</sup> )	5472.6	(14 <sup>+</sup> )	E2		
804.9 2	2.6 2	5721.5	(15 <sup>-</sup> )	4916.8	(13 <sup>-</sup> )	(E2)		
818.3 2	7.8 3	3991.8	10 <sup>-</sup>	3173.5	8 <sup>-</sup>	E2		Mult.: DCO=1.04 13, P(lin pol)=0.51 11.
875.9 2	6.6 3	8995.5	23 <sup>-</sup>	8119.6	21 <sup>-</sup>	E2		Mult.: DCO=0.87 7, P(lin pol)=0.30 10.
886.0 15	3.7 6	7160.4	(18 <sup>+</sup> )	6274.4	(16 <sup>+</sup> )	(E2)		
886.4 2	4.9 2	6659.3	(17)	5772.8	15	(E2)		
887.6 3	5.1 10	5472.6	(14 <sup>+</sup> )	4585.0	(12 <sup>+</sup> )	(E2)		
902.2 2	5.4 3	4585.0	(12 <sup>+</sup> )	3682.8	10 <sup>+</sup>	(E2)		
905.5 3	2.4 4	6141.9	(16 <sup>-</sup> )	5236.3	(14 <sup>-</sup> )	(E2)		
910.8 2	5.8 3	3682.8	10 <sup>+</sup>	2772.0	8 <sup>+</sup>	E2		Mult.: DCO=1.14 27.
925.0 2	8.0 4	3697.0	10 <sup>+</sup>	2772.0	8 <sup>+</sup>	E2		Mult.: DCO=0.97 10, P(lin pol)=0.26 12.
930.4 2	3.7 2	6651.9	(17 <sup>-</sup> )	5721.5	(15 <sup>-</sup> )	(E2)		
933.3 2	3.5 2	6128.8	(16 <sup>-</sup> )	5195.5	14 <sup>-</sup>	(E2)		
962.9 3	3.3 4	8123.3	(20 <sup>+</sup> )	7160.4	(18 <sup>+</sup> )	E2		
968.9 2	4.2 2	7642.1	20 <sup>+</sup>	6673.2	18 <sup>+</sup>	E2		Mult.: DCO=1.03 16.
973.1 2	4.0 3	3745.0	9	2772.0	8 <sup>+</sup>			Mult.: DCO=0.57 10.
982.6 2	3.5 2	7642.0	(19)	6659.3	(17)	(E2)		
995.5 2	3.7 2	6103.4	(16 <sup>+</sup> )	5107.9	14 <sup>+</sup>	(E2)		
999.6 3	2.3 2	8173.2	(20 <sup>-</sup> )	7173.7	(18 <sup>-</sup> )	(E2)		
1024.7 2	8.3 4	3026.2	7 <sup>-</sup>	2001.5	6 <sup>+</sup>	E1		Mult.: DCO=0.46 5. P(lin pol)=+0.22 6 for 1024.7+1027.9.
1027.9 2	16.8 5	8119.6	21 <sup>-</sup>	7091.8	19 <sup>-</sup>	E2		Mult.: DCO=0.95 7. P(lin pol)=+0.22 6 for 1027.9+1024.7.
1031.6 8	2.1 3	9204.9	(22 <sup>-</sup> )	8173.2	(20 <sup>-</sup> )	(E2)		
1031.8 8	2.3 3	7173.7	(18 <sup>-</sup> )	6141.9	(16 <sup>-</sup> )	(E2)		
1041.1 4	1.5 2	8683.2	(21)	7642.0	(19)	(E2)		
1048.6 3	3.3 4	9171.9	(22 <sup>+</sup> )	8123.3	(20 <sup>+</sup> )	(E2)		
1054.5 2	32.6 10	6673.2	18 <sup>+</sup>	5618.8	16 <sup>+</sup>	E2		Mult.: DCO=0.98 9, P(lin pol)=0.19 6.

Continued on next page (footnotes at end of table)

$^{64}\text{Ni}(^{56}\text{Fe},2\text{p}2\text{n}\gamma)$  **1997Se04 (continued)** $\gamma(^{116}\text{Te})$  (continued)

$E_\gamma$	$I_\gamma$	$E_i(\text{level})$	$J_i^\pi$	$E_f$	$J_f^\pi$	Mult.	Comments
1071.2 2	4.5 2	11129.8	27 <sup>-</sup>	10058.6	25 <sup>-</sup>	E2	Mult.: DCO=0.98 13.
1077.2 2	3.2 2	7729.1	(19 <sup>-</sup> )	6651.9	(17 <sup>-</sup> )	(E2)	
1088.8 2	6.8 3	9756.4	24 <sup>-</sup>	8667.6	22 <sup>-</sup>	E2	Mult.: DCO=0.98 12, P(lin pol)=0.28 11.
1092.4 5	1.2 2	9775.6	(23)	8683.2	(21)	(E2)	
1119.8 5	1.4 2	10324.7	(24 <sup>-</sup> )	9204.9	(22 <sup>-</sup> )	(E2)	
1131.7 3	3.3 4	10303.6	(24 <sup>+</sup> )	9171.9	(22 <sup>+</sup> )	(E2)	
1174.0 5	1.3 2	10949.6	(25)	9775.6	(23)	(E2)	
1178.6 5	2.9 2	7307.4	(18 <sup>-</sup> )	6128.8	(16 <sup>-</sup> )	(E2)	
1190.8 4	2.6 3	11494.4	(26 <sup>+</sup> )	10303.6	(24 <sup>+</sup> )	(E2)	
1214.1 4	1.5 2	11538.8	(26 <sup>-</sup> )	10324.7	(24 <sup>-</sup> )	(E2)	
1220.5 4	2.2 3	12714.9	(28 <sup>+</sup> )	11494.4	(26 <sup>+</sup> )	(E2)	
1273.5 6	1.8 1	13988.4	(30 <sup>+</sup> )	12714.9	(28 <sup>+</sup> )	(E2)	
1302.9 7	0.8 1	12841.7	(28 <sup>-</sup> )	11538.8	(26 <sup>-</sup> )	(E2)	
1347.4 5	1.8 2	15335.8	(32 <sup>+</sup> )	13988.4	(30 <sup>+</sup> )	(E2)	
1386.4 6	0.7 1	14228.1	(30 <sup>-</sup> )	12841.7	(28 <sup>-</sup> )	(E2)	
1407.8 6	1.3 2	16743.6	(34 <sup>+</sup> )	15335.8	(32 <sup>+</sup> )	(E2)	
1443.1 <sup>†</sup> 20	0.1 1	15671?	(32 <sup>-</sup> )	14228.1	(30 <sup>-</sup> )	(E2)	
1487.6 8	0.9 2	18231.2	(36 <sup>+</sup> )	16743.6	(34 <sup>+</sup> )	(E2)	
1639.4 14	0.5 1	19871	(38 <sup>+</sup> )	18231.2	(36 <sup>+</sup> )	(E2)	
1831.6 16	0.3 1	21702	(40 <sup>+</sup> )	19871	(38 <sup>+</sup> )	(E2)	
2019.1 20	0.1 1	23721	(42 <sup>+</sup> )	21702	(40 <sup>+</sup> )	(E2)	

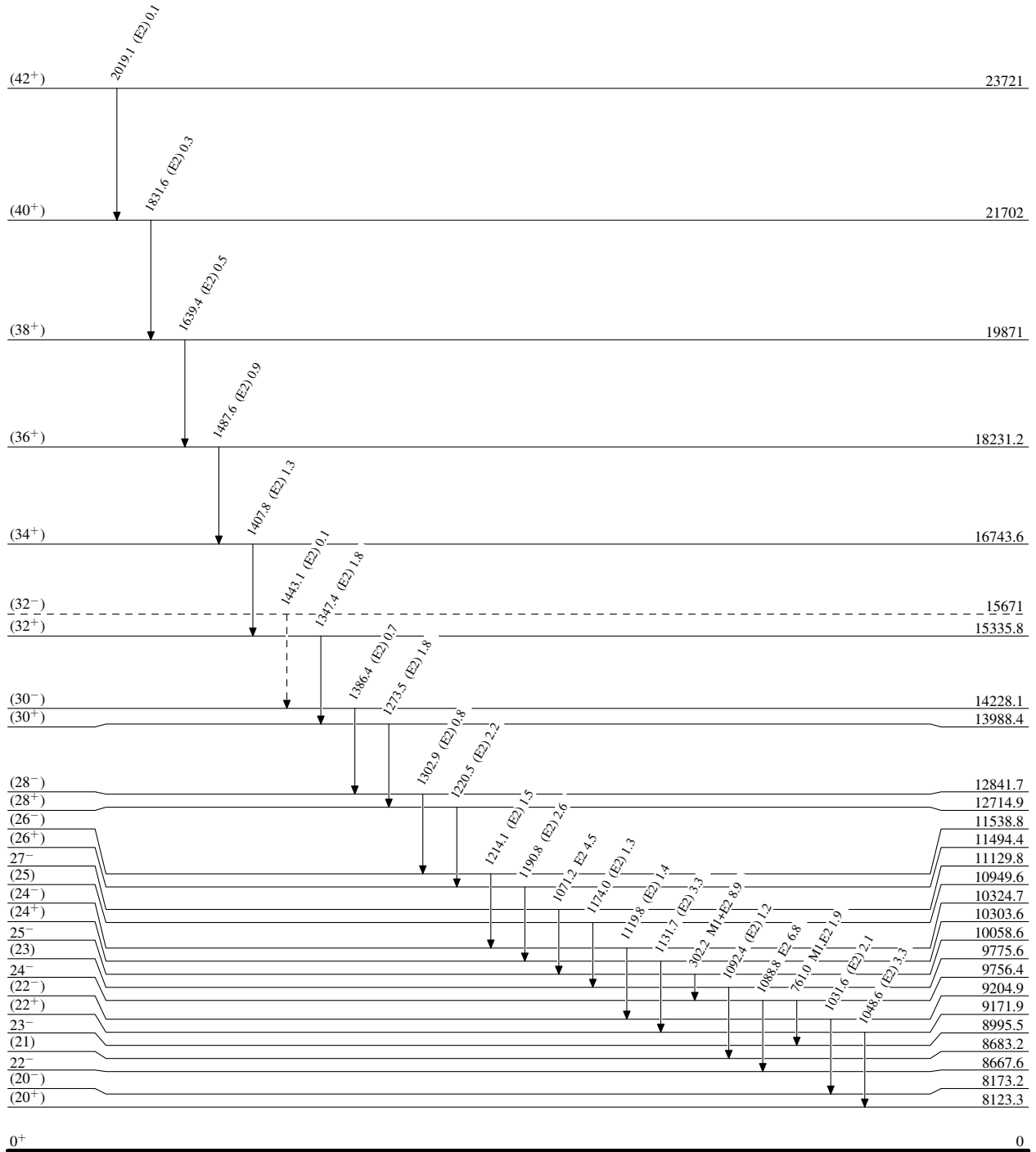
<sup>†</sup> Placement of transition in the level scheme is uncertain.

$^{64}\text{Ni}(^{56}\text{Fe}, 2p2n\gamma)$  1997Se04

Legend

Level Scheme  
 Intensities: Relative  $I_\gamma$

- $I_\gamma < 2\% \times I_\gamma^{\max}$
- $I_\gamma < 10\% \times I_\gamma^{\max}$
- $I_\gamma > 10\% \times I_\gamma^{\max}$
- - - - -→  $\gamma$  Decay (Uncertain)

 $^{116}\text{Te}_{52}$

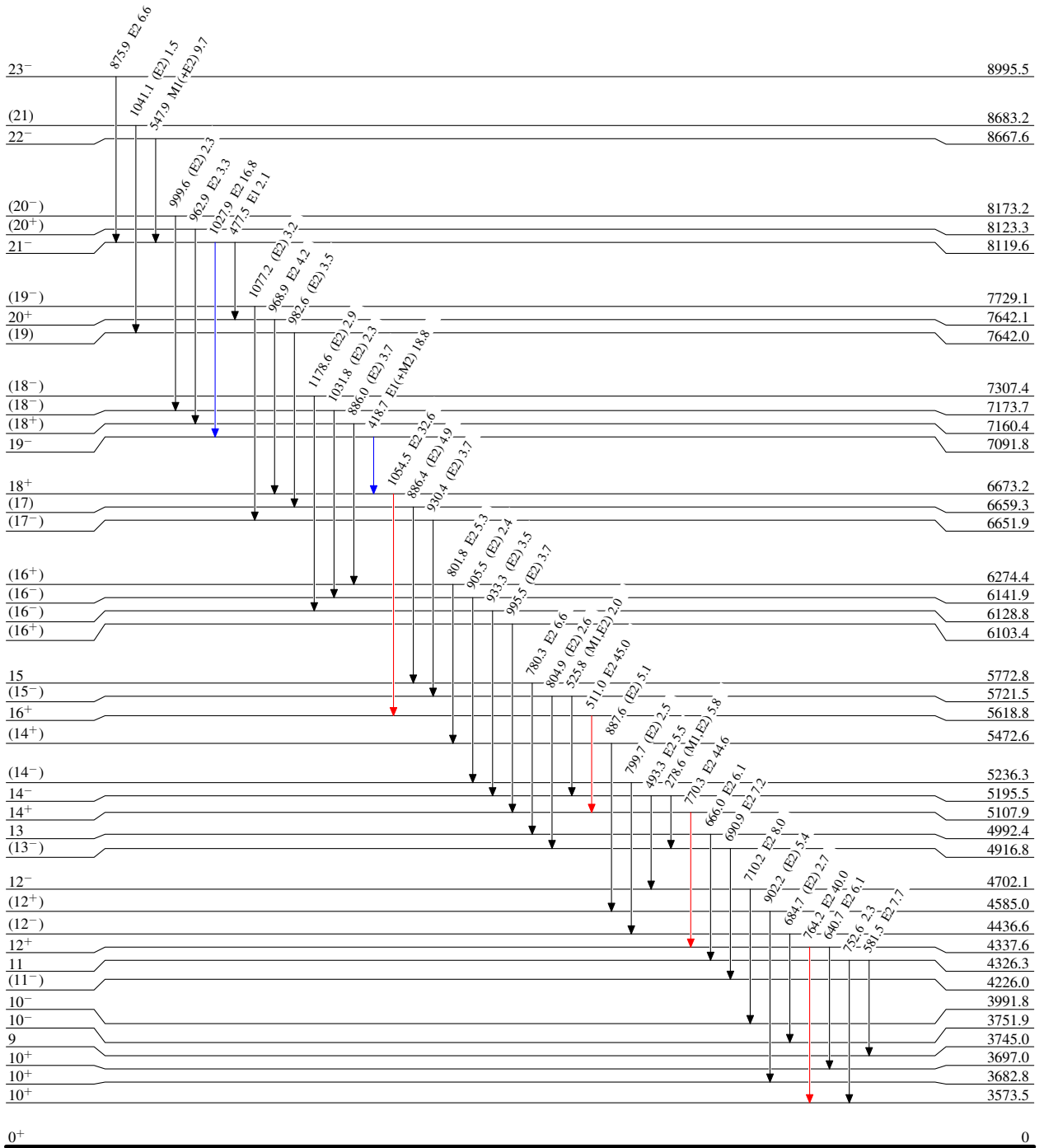
$^{64}\text{Ni}(^{56}\text{Fe},2p2n\gamma)$  1997Se04

Level Scheme (continued)

Intensities: Relative  $I_\gamma$

Legend

- $I_\gamma < 2\% \times I_\gamma^{\max}$
- $I_\gamma < 10\% \times I_\gamma^{\max}$
- $I_\gamma > 10\% \times I_\gamma^{\max}$



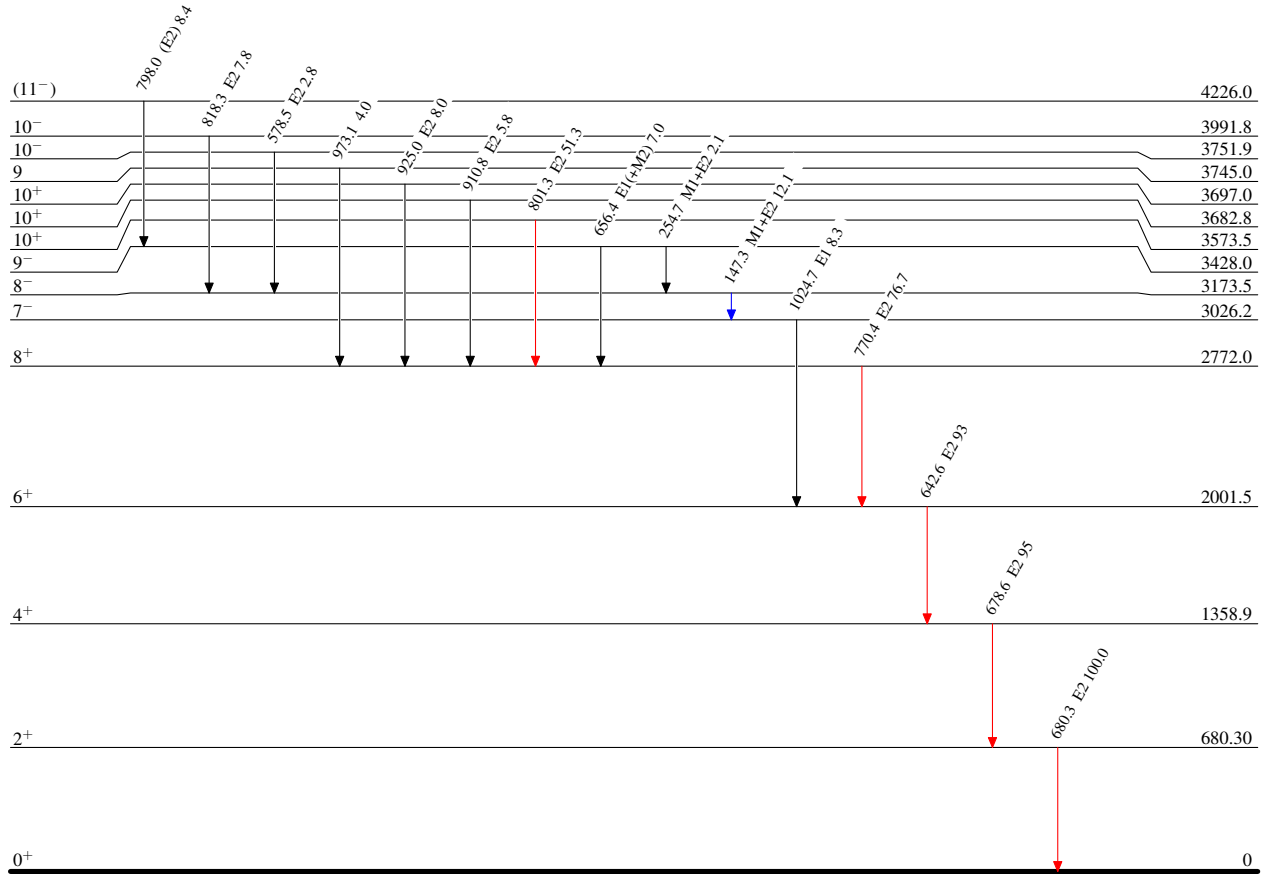
$^{64}\text{Ni} (^{56}\text{Fe}, 2p2n\gamma)$  1997Se04

## Level Scheme (continued)

Intensities: Relative  $I_\gamma$ 

## Legend

- $\blacktriangleright$   $I_\gamma < 2\% \times I_\gamma^{\max}$
- $\color{blue}\blacktriangleright$   $I_\gamma < 10\% \times I_\gamma^{\max}$
- $\color{red}\blacktriangleright$   $I_\gamma > 10\% \times I_\gamma^{\max}$

 $^{116}\text{Te}_{64}$

$^{64}\text{Ni} (^{56}\text{Fe}, 2p2n\gamma)$  1997Se04Band(A): Band #1, based on  $10^+$ 

(42 <sup>+</sup> )	23721
2019	
(40 <sup>+</sup> )	21702
1832	
(38 <sup>+</sup> )	19871
1639	
(36 <sup>+</sup> )	18231.2
1488	
(34 <sup>+</sup> )	16743.6
1408	
(32 <sup>+</sup> )	15335.8
1347	
(30 <sup>+</sup> )	13988.4
1274	
(28 <sup>+</sup> )	12714.9
1220	
(26 <sup>+</sup> )	11494.4
1191	
(24 <sup>+</sup> )	10303.6
1132	
(22 <sup>+</sup> )	9171.9
1049	
(20 <sup>+</sup> )	8123.3
963	
(18 <sup>+</sup> )	7160.4
886	
(16 <sup>+</sup> )	6274.4
802	
(14 <sup>+</sup> )	5472.6
888	
(12 <sup>+</sup> )	4585.0
902	
10 <sup>+</sup>	3682.8

Band(B): Band #2, based on 9

(25)	10949.6
1174	
(23)	9775.6
1092	
(21)	8683.2
1041	
(19)	7642.0
983	
(17)	6659.3
886	
15	5772.8
780	
13	4992.4
666	
11	4326.3
582	
9	3745.0

Band(C): Band #3, g.s. band

20 <sup>+</sup>	7642.1
969	
18 <sup>+</sup>	6673.2
1054	
16 <sup>+</sup>	5618.8
511	
14 <sup>+</sup>	5107.9
770	
12 <sup>+</sup>	4337.6
764	
10 <sup>+</sup>	3573.5
801	
8 <sup>+</sup>	2772.0
770	
6 <sup>+</sup>	2001.5
643	
4 <sup>+</sup>	1358.9
679	
2 <sup>+</sup>	680.30

Band(D): Band #4, based on  $19^-$ 

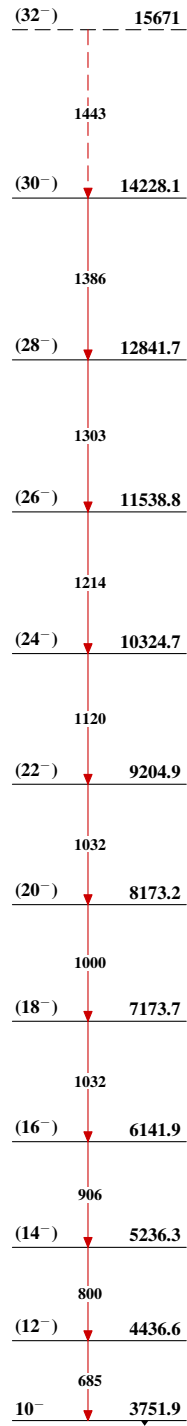
27 <sup>-</sup>	11129.8
1071	
25 <sup>-</sup>	10058.6
302	
24 <sup>-</sup>	9756.4
1089	
22 <sup>-</sup>	8667.6
548	
21 <sup>-</sup>	8119.6
1028	
19 <sup>-</sup>	7091.8

Band(E): Band #5, based on  $7^-$ 

(19 <sup>-</sup> )	7729.1
1077	
(17 <sup>-</sup> )	6651.9
930	
(15 <sup>-</sup> )	5721.5
805	
(13 <sup>-</sup> )	4916.8
691	
(11 <sup>-</sup> )	4226.0
798	
9 <sup>-</sup>	3428.0
3026.2	
7 <sup>-</sup>	

Band(F): Band #6, based on  $8^-$ 

(18 <sup>-</sup> )	7307.4
1179	
(16 <sup>-</sup> )	6128.8
933	
14 <sup>-</sup>	5195.5
493	
12 <sup>-</sup>	4702.1
710	
10 <sup>-</sup>	3991.8
818	
8 <sup>-</sup>	3173.5

$^{64}\text{Ni}(^{56}\text{Fe}, 2\text{p}2\text{n}\gamma)$  1997Se04 (continued)Band(G): Band #7, based  
on  $10^{-}$  $^{116}_{52}\text{Te}_{64}$